

# رشد نانوساختارهای دی‌سولفیدمولیبدن روی فوم کربن به روش هیدروترمال

فصلنامه  
سرامیک ایران

محمدعلی هدایتی، مهدی ملکی<sup>\*</sup>، هاجر قنبری

دانشکده مهندسی مواد و متالورژی، دانشگاه علم و صنعت ایران، تهران، ایران



نویسنده مسئول:

دکتر مهدی ملکی

دانشگاه علم و صنعت ایران

نوع مقاله: پژوهشی

صفحه‌های: ۸۱ تا ۸۶

شاپا چاپی: ۳۳۵۱-۱۷۳۵

شاپا الکترونیکی: ۲۷۸۳-۳۰۹۷

زبان نشریه: فارسی

دسترس پذیر در نشانی:

www.JICERS.ir

تاریخ دریافت:

۱۴۰۰/۰۴/۱۴

تاریخ پذیرش:

۱۴۰۰/۰۶/۰۲

Malekim@iust.ac.ir

DOR: 20.1001.1.17353351.1400.17.1.5.6

**چکیده:** دی‌سولفیدمولیبدن با توجه به خواص نوری و الکتریکی مطلوب، یکی از مهم‌ترین ترکیبات دی‌کالکوژنیدهای فلزات انتقالی است. هدایت الکتریکی پایین، پایداری الکتروشیمیایی و سطح ویژه کم از چالش‌های استفاده از دی‌سولفیدمولیبدن است. در این پژوهش، برای حل این چالش‌ها کامپوزیتی از نانوذرات دی‌سولفیدمولیبدن/فوم کربن با استفاده از رسوب دی‌سولفیدمولیبدن به روش هیدروترمال روی فوم کربن انعطاف‌پذیر ساخته شد. فوم کربن انعطاف‌پذیر از پیرولیز فوم ملامین در دمای  $800^{\circ}\text{C}$  سنتز شد و رسوب دی‌سولفیدمولیبدن روی فوم کربن، با استفاده از پیش‌ماده‌های سدیم‌مولیبدات آبدار و گوگرد و حرارت‌دهی در دماهای  $200^{\circ}\text{C}$  و  $240^{\circ}\text{C}$  صورت گرفت. برای بررسی فازی، شناسایی محصولات و بررسی مورفولوژی، آنالیزهای پراش اشعه ایکس (XRD)، طیف‌سنجی رامان و تصویربرداری به کمک میکروسکوپ الکترونی روبشی (SEM) صورت گرفت. نتایج به دست آمده از این پژوهش نشان‌دهنده تشکیل فاز بلوری  $\text{H}_2$  با ساختار بلوری هگزاگونال در تمامی نمونه‌هاست. در هر سه نمونه، دی‌سولفیدمولیبدن با مورفولوژی میکروکره‌های گل‌شکل تشکیل شده‌است. علاوه‌براین، مشاهده شد که در دماهای  $200^{\circ}\text{C}$  و  $240^{\circ}\text{C}$ ، ضخامت رشته‌های فوم به ترتیب برابر  $5-3\ \mu\text{m}$ ،  $7-5\ \mu\text{m}$  و  $8-6\ \mu\text{m}$  است که نشان‌دهنده افزایش میزان رسوب دی‌سولفیدمولیبدن روی فوم کربن با افزایش دماست.

**کلمات کلیدی:** کامپوزیت دی‌سولفیدمولیبدن/فوم کربن، دی‌سولفیدمولیبدن، فوم ملامین، هیدروترمال.

## ۱- مقدمه

دی‌کالکوژنیدهای فلزات انتقالی با فرمول کلی  $\text{MX}_2$  ("M" مربوط به فلز انتقالی مانند V، W، Ta، Mo، Ni و "X" مربوط به عنصر کالکوژن مانند Se، Te و S) به دلیل ویژگی‌های شیمیایی و فیزیکی منحصر به فرد خود مورد استقبال گسترده قرار گرفته‌اند [۱]. دی‌سولفیدمولیبدن یکی از ترکیبات گروه دی‌کالکوژنیدهای فلزات انتقالی است که در هر لایه آن، اتم‌های مولیبدن و گوگرد با پیوند یونی در کنار هم قرار گرفته‌اند. هر کدام از لایه‌ها، مشابه ساختار گرافن، به کمک پیوند واندروالسی ضعیف به یکدیگر متصل شده‌اند و فاصله این لایه‌ها از یکدیگر تقریباً برابر  $0.65\ \text{nm}$  است. از فازهای بلوری  $\text{MoS}_2$  می‌توان به فازهای 1H، 1T، 2H و 3R اشاره کرد که به ترتیب دارای ساختارهای بلوری هگزاگونال، تری‌گونال، هگزاگونال و رومبوهدرال هستند [۱، ۲].

دی‌سولفیدمولیبدن، برخلاف گرافن که گاف انرژی برابر صفر دارد، دارای گاف انرژی بزرگتر از یک است که باعث ایجاد ویژگی‌های نوری و الکتریکی خاصی در این ماده شده‌است. دی‌سولفیدمولیبدن دارای گاف انرژی  $1.8\ \text{eV}$  است و با کاهش تعداد لایه‌های آن به تک‌لایه، گاف انرژی آن به  $1.3\ \text{eV}$  کاهش می‌یابد [۲].

هدایت الکتریکی و یونی پایین، سطح ویژه و پایداری الکتروشیمیایی کم دی‌سولفیدمولیبدن و تجمع ذرات آن در حین فرآیندهای کاربردی مانند فرآیندهای ذخیره‌سازی انرژی سبب ایجاد محدودیت در کاربردهای این ماده شده‌است که برای رفع چنین



چالش‌هایی باید از کامپوزیت کردن این ماده با مواد دیگر مانند مواد رسانا و یا مواد با سطح ویژه بالا بهره گرفت [۳]. کامپوزیت‌هایی مانند اکسیدتیتانیوم/دی‌سولفیدمولیبدن [۴]، کامپوزیت  $WS_2/MoS_2$ /گرافن [۵]، کامپوزیت‌های پایه کربنی دی‌سولفیدمولیبدن و ... برای رفع این چالش‌ها معرفی شده‌اند.

مواد پایه کربنی مانند نانولوله‌های کربنی [۶]، گرافن [۷] و منسوجات کربنی [۸] از جمله موادی هستند که برای کامپوزیت‌سازی با دی‌سولفیدمولیبدن مورد استفاده قرار گرفته‌اند و در کاربردهایی نظیر باتری لیتیومی [۹]، واکنش‌های تکامل هیدروژن [۱۰]، ابرخازن‌ها [۱۱]، حسگرهای کرنشی [۱۲] و ... مورد استفاده قرار گرفته‌اند.

به عنوان مثال، هانگ و همکارانش [۱۳] به منظور افزایش رسانایی و جلوگیری از تجمع نانورقه‌های دی‌سولفیدمولیبدن از کامپوزیت دی‌سولفیدمولیبدن/گرافن استفاده کرد. استفاده از کامپوزیت دی‌سولفیدمولیبدن در ابرخازن باعث افزایش طول عمر و افزایش ظرفیت آن می‌شود. افزون‌براین، ماو و همکارانش [۱۴]، کامپوزیت پارچه کربنی/دی‌سولفیدمولیبدن را برای استفاده به عنوان کاتالیزر در واکنش‌های تکامل هیدروژن سنتز کرد.

فوم‌های کربنی نیز از جمله مواد پایه کربنی هستند که به منظور بهبود ویژگی‌های دی‌سولفیدمولیبدن مورد استفاده قرار گرفته‌اند. استفاده از فوم‌های کربنی که قابلیت تولید در مقیاس بالا را داشته باشند و همچنین دارای صرفه اقتصادی باشند، می‌تواند به توسعه استفاده از این کامپوزیت‌ها کمک کند [۱۵، ۱۶]. فوم‌های کربنی انعطاف‌پذیر که از پیرولیز فوم ملامین تجاری به دست می‌آید، علاوه بر صرفه اقتصادی، دارای ساختار سه‌بعدی و بهم پیوسته، هدایت الکتریکی مطلوب، سطح ویژه بالا، ویژگی انعطاف‌پذیری، آب‌گریزی و رنگ مشکی هستند [۱۷، ۱۸]. مجموعه این ویژگی‌های فیزیکی، شیمیایی و مکانیکی مناسب، می‌تواند فوم‌های کربنی منعطف را به عنوان یک عامل کامپوزیت‌کننده مناسب با دی‌سولفیدمولیبدن مطرح نمایند. افزون‌براین، این دسته از فوم‌های کربنی به عنوان یک عامل کامپوزیت‌کننده با دی‌سولفیدمولیبدن، می‌تواند هدایت الکتریکی پایین و سطح ویژه کم  $MoS_2$  را برطرف نمایند [۱۹].

روش‌های مختلفی مانند روش رسوب شیمیایی فاز بخار، روش هیدروترومال و سولوترومال برای رسوب دی‌سولفیدمولیبدن روی ماده زمینه و کامپوزیت‌سازی آن با مواد پایه کربنی مورد بررسی قرار گرفته‌است. روش هیدروترومال روشی آسان برای سنتز  $MoS_2$  است که قابلیت کامپوزیت‌سازی با مواد دیگر را نیز داراست [۲۰، ۲۱].

به این ترتیب، در این پژوهش برای رفع چالش‌های  $MoS_2$ ، از فوم‌های منعطف کربنی با حفرات سه‌بعدی متصل به هم استفاده شد. با توجه به اثرگذاری ماده زمینه در شرایط رشد  $MoS_2$ ، اثر دمای واکنش هیدروترومال بر نحوه رسوب‌دهی، مورفولوژی و فازهای بلوری در کامپوزیت دی‌سولفیدمولیبدن/فوم کربن مورد بررسی قرار گرفت. دی‌سولفیدمولیبدن رسوب داده شده روی فوم کربن منعطف به روش هیدروترومال دارای ساختار بلوری  $2H$  و مورفولوژی میکروکره‌های گل‌شکل است.

## ۲- فعالیت‌های تجربی

### ۲-۱- مواد مورد استفاده

در این پژوهش از فوم ملامین تجاری با فرمول شیمیایی  $C_3H_6N_6$ ، سدیم‌مولیبدات آبدار با فرمول شیمیایی  $NaMoO_4 \cdot 2H_2O$  (ساخت شرکت Merck و خلوص ۹۹/۵ درصد) و گوگرد با فرمول شیمیایی S (ساخت شرکت AppliChem و خلوص ۹۹ درصد) استفاده شده‌است.

### ۲-۲- سنتز کامپوزیت دی‌سولفیدمولیبدن/فوم کربن

#### ۲-۲-۱- سنتز فوم کربن

به منظور سنتز کامپوزیت  $MoS_2$ /فوم کربن، ابتدا فوم کربن، به عنوان ماده زمینه، سنتز می‌شود و سپس روی آن، دی‌سولفیدمولیبدن به روش هیدروترومال رسوب داده می‌شود. فوم کربن از پیرولیز فوم ملامین تجاری سنتز شد. برای این منظور، فوم ملامین پس از شستشو با آب مقطر، در دمای  $800^\circ C$  به مدت یک ساعت تحت اتمسفر نیتروژن در داخل کوره تیوبی حرارت داده شد تا فوم کربن حاصل گردد.

## ۲-۲-۲- رسوب دی‌سولفیدمولیبدن روی فوم کربن

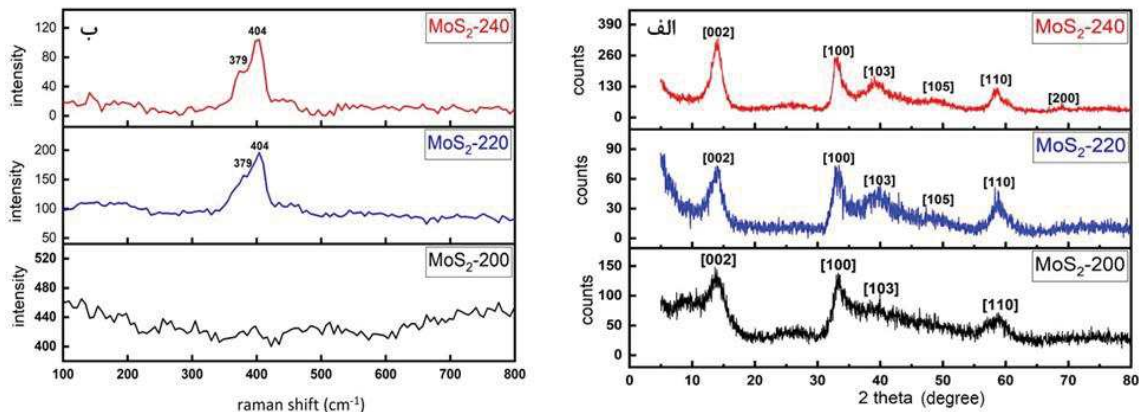
برای رسوب دی‌سولفیدمولیبدن روی فوم کربن، ابتدا پیش‌ماده‌های سدیم‌مولیبدات آبدار و گوگرد با نسبت مولی مولیبدن به گوگرد ۱:۴ توزین و در ۶۰ ml آب مقطر ریخته شد و به مدت ۱۰ دقیقه روی همزن مغناطیسی قرار گرفت و به همراه فوم کربن به داخل اتوکلاو از جنس استیل ضدزنگ و محفظه تفلونی با حجم ۸۰ ml منتقل شد. اتوکلاو به مدت ۱۲ ساعت در دماهای ۲۰۰، ۲۲۰ و ۲۴۰°C در داخل خشک‌کن تحت عملیات حرارتی قرار گرفت. فوم حاصل پس از خروج از اتوکلاو و شستشو با آب مقطر و اتانول، در داخل خشک‌کن و در دمای ۶۰°C خشک شد. فوم‌های به دست آمده در دماهای ۲۰۰، ۲۲۰ و ۲۴۰°C به ترتیب به نام‌های MoS<sub>2</sub>-200، MoS<sub>2</sub>-220 و MoS<sub>2</sub>-240 نام‌گذاری شدند.

## ۲-۳- تجهیزات و آزمون‌های صورت گرفته

به منظور بررسی فازهای تشکیل شده در نمونه، آنالیز پراش اشعه ایکس به کمک دستگاه XRD ساخت شرکت BRUKER آلمان مدل D8 ADVANCE صورت گرفت و به منظور انجام آنالیز طیف‌سنجی رامان از دستگاه رامان مدل Takram ساخت شرکت Teksan با طول موج لیزر ۵۲۳ nm<sup>-1</sup> و بازه رامان شیفیت ۱۰۰ تا ۴۶۰۰ cm<sup>-1</sup> استفاده شد. برای انجام آنالیز میکروسکوپ الکترونی برای بررسی مورفولوژی نمونه‌ها، از دستگاه SEM مدل TESCAN VEGA/XMU استفاده شد. همچنین دستگاه کندوپاش طلا مجهز به سه کاتد مدل DSR1 برای پوشش‌دهی نمونه‌ها استفاده شد.

## ۳- نتایج و بحث

الگوی XRD نمونه‌های MoS<sub>2</sub>-200، MoS<sub>2</sub>-220 و MoS<sub>2</sub>-240 در شکل ۱-الف نمایش داده شده‌است. در هر سه نمونه پیک‌هایی در حوالی زوایای ۱۴°، ۳۳°، ۳۹° و ۵۸/۵° تشکیل شده‌است که با توجه به پیک‌های استاندارد می‌توان آن‌ها را به ترتیب به صفحات بلوری (۰۰۲)، (۱۰۰)، (۱۰۳) و (۱۱۰) در ساختار دی‌سولفیدمولیبدن هگزاگونال (JCPDS card no. 65-1951) نسبت داد. علاوه‌براین، پیکی در حوالی زاویه ۴۸/۵° در نمونه‌های MoS<sub>2</sub>-220 و MoS<sub>2</sub>-240 و در زاویه ۷۰° در نمونه MoS<sub>2</sub>-240 تشکیل شده‌است که به ترتیب مربوط به صفحات (۱۰۵) و (۲۰۰) در دی‌سولفیدمولیبدن هگزاگونال است [۲۲].



شکل ۱- (الف) الگوهای XRD و (ب) طیف‌های رامان نمونه‌های MoS<sub>2</sub>-200، MoS<sub>2</sub>-220 و MoS<sub>2</sub>-240 (از پایین به بالا).

افزون‌براین، در نمونه MoS<sub>2</sub>-200 پیکی اضافی در زاویه ۹/۹۵° تشکیل شده‌است. ظهور این پیک، افزایش فاصله بین صفحات (۰۰۲) دی‌سولفیدمولیبدن را نسبت به نمونه مرجع که پیک (۰۰۲) آن در زاویه ۱۴/۴° تشکیل شده‌است، نشان می‌دهد. تشکیل این پیک توسط سایر پژوهشگران نیز مشاهده شده‌است که علت آن، قرار گرفتن یون‌ها و ملکول‌ها در بین صفحات دی‌سولفیدمولیبدن است [۲۱].

در نمونه‌های MoS<sub>2</sub>-200 و MoS<sub>2</sub>-240، علاوه‌بر پیک‌های مربوط به دی‌سولفیدمولیبدن، یک شانه در حدود ۲۶° تشکیل شده‌است که این شانه پهن مربوط به کربن به عنوان ماده زمینه است.

اندازه بلورک نمونه‌ها به کمک رابطه دبای‌شرر اندازه‌گیری شد [۲۳]. اندازه بلورک نمونه‌های MoS<sub>2</sub>-200، MoS<sub>2</sub>-220 و MoS<sub>2</sub>-240 به ترتیب برابر ۱۳، ۱۵ و ۶۰ nm است که افزایش اندازه بلورک را با افزایش دمای انجام واکنش از ۲۲۰ به ۲۴۰°C نشان می‌دهد، در حالی که اندازه بلورک از ۲۰۰ تا ۲۲۰°C تفاوت معناداری نیافته است.

نسبت شدت پیک صفحه (۰۰۲) به شدت پیک صفحه (۱۰۰) در نمونه‌های MoS<sub>2</sub>-200 و MoS<sub>2</sub>-220 تغییر محسوسی نکرده است؛ اگرچه در نمونه MoS<sub>2</sub>-240 این نسبت افزایش پیدا کرده است که این امر به دلیل رشد ترجیحی صفحه (۰۰۲) با افزایش دمای انجام واکنش است (نسبت شدت پیک (۰۰۲) به شدت پیک (۱۰۰) یا  $I_{(002)}/I_{(100)}$  در نمونه MoS<sub>2</sub>-240 برابر ۱/۳، در نمونه‌های MoS<sub>2</sub>-220 و MoS<sub>2</sub>-200 برابر ۱ است).

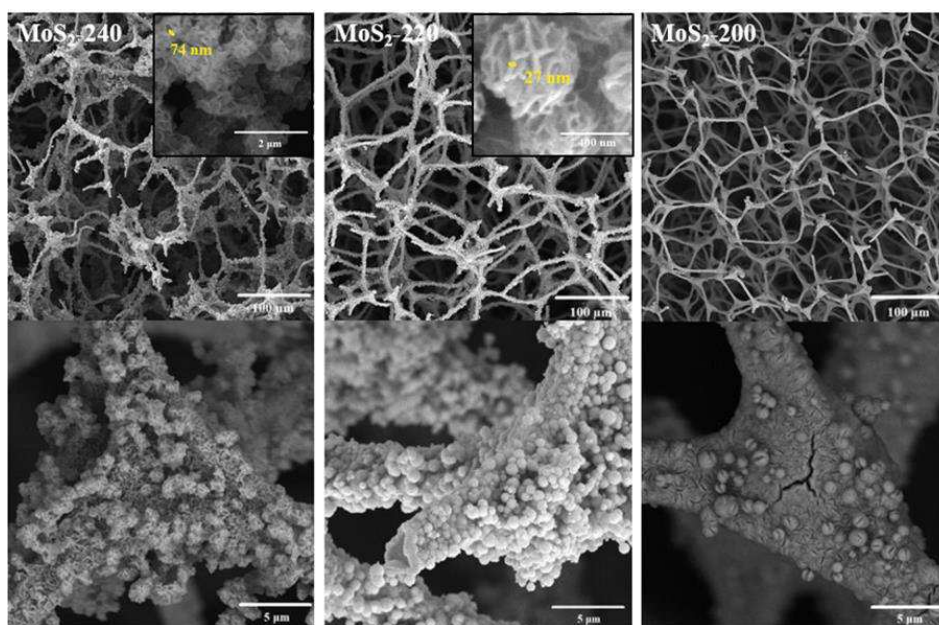
شکل ۱-ب طیف‌های رامان نمونه‌های MoS<sub>2</sub>-200، MoS<sub>2</sub>-220 و MoS<sub>2</sub>-240 را نشان می‌دهد. در طیف رامان نمونه MoS<sub>2</sub>-200، پیک‌های مربوط به دی‌سولفیدمولیبدن مشاهده نمی‌شود. ظاهر شدن پیک در ۳۷۹ و ۴۰۴ cm<sup>-1</sup> در نمونه‌های MoS<sub>2</sub>-220 و MoS<sub>2</sub>-240 نشان‌دهنده تشکیل MoS<sub>2</sub> با فاز بلوری 2H روی فوم کربنی است. این پیک‌ها را می‌توان به ترتیب به حالات E<sub>1g</sub> و A<sub>1g</sub> نسبت داد. پیک E<sub>1g</sub> مربوط به ارتعاشات اتم‌ها در داخل صفحات دی‌سولفیدمولیبدن و نیروی برشی بین اتم‌های مولیبدن و گوگرد و پیک A<sub>1g</sub> مربوط به نیروی فشاری بین اتم‌های گوگرد در امتداد محور c است [۲۰].

نسبت شدت پیک A<sub>1g</sub> به شدت پیک E<sub>1g</sub>، در نمونه MoS<sub>2</sub>-240 بیشتر از نمونه MoS<sub>2</sub>-220 است. این نسبت برای نمونه MoS<sub>2</sub>-220 تقریباً برابر ۱/۲۵ و برای نمونه MoS<sub>2</sub>-240 تقریباً برابر ۱/۳۳ است. افزایش نسبت شدت پیک A<sub>1g</sub> به شدت پیک E<sub>1g</sub> در طیف‌سنجی رامان برای دی‌سولفیدمولیبدن نشان‌دهنده افزایش چگالی عیوب در ساختار است [۷]. به این ترتیب، با افزایش دمای انجام واکنش از ۲۲۰ به ۲۴۰°C، چگالی عیوب در ساختار افزایش یافت.

نتایج مربوط به SEM نمونه‌های MoS<sub>2</sub>-200، MoS<sub>2</sub>-220 و MoS<sub>2</sub>-240 در شکل ۲ آورده شده است که نشان‌دهنده ساختار سه‌بعدی و بهم پیوسته کامپوزیت سنتز شده و رسوب یکنواخت دی‌سولفیدمولیبدن روی فوم کربن است. دی‌سولفیدمولیبدن در هر سه نمونه متشکل از میکروکره‌های گل‌شکل است [۲۱].

توزیع اندازه حفرات فوم به صورت نامنظم و برابر ۲۰ تا ۲۰۰ μm است که این امر به علت تجاری بودن فوم ملامینی مورد استفاده برای سنتز فوم کربن به عنوان ماده زمینه است.

با افزایش دمای انجام واکنش، میزان دی‌سولفیدمولیبدن تشکیل شده روی رشته‌های فوم افزایش می‌یابد، بدین شکل که ضخامت میانگین رشته‌های فوم در نمونه MoS<sub>2</sub>-200 برابر ۵-۳/۵ μm، در نمونه MoS<sub>2</sub>-220 برابر ۷-۵/۵ μm و در نمونه MoS<sub>2</sub>-240 برابر ۸-۶/۵ μm اندازه‌گیری شد.



شکل ۲- نتایج SEM به ترتیب از راست به چپ برای نمونه‌های MoS<sub>2</sub>-200، MoS<sub>2</sub>-220 و MoS<sub>2</sub>-240.



ضخامت دیواره‌های دی‌سولفیدمولیبدن برای نمونه‌های MoS<sub>2</sub>-220 و MoS<sub>2</sub>-240 به کمک نرم‌افزار، اندازه‌گیری و روی تصاویر SEM در شکل ۲ مشخص شد. ضخامت دیواره‌های دی‌سولفیدمولیبدن برای نمونه‌های سنتز شده در دماهای ۲۲۰ و ۲۴۰°C حدوداً به ترتیب برابر ۱۰±۳۰ nm و ۱۰±۷۰ nm است. با توجه به اعداد به دست آمده از ضخامت دیواره‌های دی‌سولفیدمولیبدن، می‌توان بیان کرد که نانوساختارهای گل‌شکل MoS<sub>2</sub> روی فوم کربن رسوب کرده‌است. همچنین، مشاهده شد که با افزایش دمای انجام واکنش، ضخامت دیواره‌های MoS<sub>2</sub> افزایش یافته‌است.

#### ۴- نتیجه‌گیری

در این پژوهش، دی‌سولفیدمولیبدن روی فوم کربن انعطاف‌پذیر به روش هیدروترومال با پیش‌ماده‌های سدیم‌مولیبدات آبدار و گوگرد در دماهای ۲۰۰، ۲۲۰ و ۲۴۰°C رسوب داده شد. نتایج حاصل از بررسی الگوهای پراش اشعه X و طیف‌های رامان سه نمونه سنتز شده در دماهای ۲۰۰، ۲۲۰ و ۲۴۰°C، بیان می‌کند که دی‌سولفیدمولیبدن سنتز شده دارای فاز بلوری 2H-MoS<sub>2</sub> است و با توجه به تصاویر به دست آمده از SEM می‌توان بیان کرد که مورفولوژی در همه نمونه‌ها میکروکره‌های گل‌شکل است. افزون‌براین، مشاهده شد با افزایش دمای انجام واکنش، میزان دی‌سولفیدمولیبدن رسوب کرده روی فوم کربن افزایش می‌یابد.

#### ۵- مراجع

- [1] Li, X., Zhu, H., "Two-dimensional MoS<sub>2</sub>: Properties, Preparation, and Applications", Journal of Materiomics, Vol. 1, No. 1, (2015), 33-44. <https://doi.org/10.1016/j.jmat.2015.03.003>
- [2] Wang, H., Li, C., Fang, P., Zhang, Z., Zhang, J. Z., "Synthesis, Properties, and Optoelectronic Applications of Two-dimensional MoS<sub>2</sub> and MoS<sub>2</sub>-based Heterostructures", Chemical Society Reviews, Vol. 47, No. 16, (2018), 6101-6127. <https://doi.org/10.1039/C8CS00314A>
- [3] Park, S.-K., Chung, D. Y., Ko, D., Sung, Y.-E., Piao, Y., "Three-dimensional Carbon Foam/N-doped Graphene@MoS<sub>2</sub> Hybrid Nanostructures as Effective Electrocatalysts for The Hydrogen Evolution Reaction", Journal of Materials Chemistry A, Vol. 4, No. 33, (2016), 12720-12725. <https://doi.org/10.1039/C6TA03458F>
- [4] He, S., Zhang, Y., Ren, J., Wang, B., Zhang, Z., Zhang, M., "Facile Synthesis of TiO<sub>2</sub>@MoS<sub>2</sub> Hollow Microtubes for Removal of Organic Pollutants in Water Treatment", Colloids and Surfaces A: Physicochemical and Engineering Aspects, Vol. 600, No. 2, (2020), 124900. <https://doi.org/10.1016/j.colsurfa.2020.124900>
- [5] Lonkar, S. P., Pillai, V. V., Alhassan, S. M., "Three Dimensional (3D) Nanostructured Assembly of MoS<sub>2</sub>-WS<sub>2</sub>/Graphene as High Performance Electrocatalysts", International Journal of Hydrogen Energy, Vol. 45, No. 17, (2020), 10475-10485 <https://doi.org/10.1016/j.ijhydene.2019.03.195>
- [6] Yuan, H., Li, J., Yuan, C., He, Z., "Facile Synthesis of MoS<sub>2</sub>@CNT as An Effective Catalyst for Hydrogen Production in Microbial Electrolysis Cells", ChemElectroChem, Vol. 1, No. 11, (2014), 1828-1833. <https://doi.org/10.1002/celec.201402150>
- [7] Naz, R., Imtiaz, M., Liu, Q., Yao, L., Abbas, W., Li, T., Zada, I., Yuan, Y., Chen, W., Gu, J., "Highly Defective 1T-MoS<sub>2</sub> Nanosheets on 3D Reduced Graphene Oxide Networks for Supercapacitors", Carbon, Vol. 152, No. 2, (2019), 697-703. <https://doi.org/10.1016/j.carbon.2019.06.009>
- [8] Wang, L., Chenhui, Z., "1T-Phase MoS<sub>2</sub> with Large Layer Spacing Supported on Carbon Cloth for High-performance Na<sup>+</sup> Storage", Journal of Colloid and Interface Science, Vol. 116, No. 2, (2017), 285-294. <https://doi.org/10.1016/j.jcis.2020.09.055>
- [9] Ren, J., Ren, R.-P., Lv, Y.-K., "A Flexible 3D Graphene@CNT@MoS<sub>2</sub> Hybrid Foam Anode for High-performance Lithium-ion Battery", Chemical Engineering Journal, Vol. 353, No. 2, (2018), 419-424. <https://doi.org/10.1016/j.cej.2018.07.139>
- [10] Huang, J., Chen, M., Zhang, X., Liu, W., Liu, Y., "P-doped 3D Graphene Network Supporting Uniformly Vertical MoS<sub>2</sub> Nanosheets for Enhanced Hydrogen Evolution Reaction", International Journal of Hydrogen Energy, Vol. 45, No. 7, (2020), 4043-4053. <https://doi.org/10.1016/j.ijhydene.2019.12.014>
- [11] Masikhwa, T.M., Madito, M.J., Bello, A., Dangbegnon, J.K., "High Performance Asymmetric Supercapacitor Based on Molybdenum Disulphide/graphene Foam and Activated Carbon from Expanded Graphite", Journal of Colloid and Interface Science, Vol. 488, No. 2, (2017), 155-165. <https://doi.org/10.1016/j.jcis.2016.10.095>
- [12] Kim, S. J., Mondal, S., Min, B. K., Choi, C.-G., "Highly Sensitive and Flexible Strain-pressure Sensors with Cracked Paddy-shaped MoS<sub>2</sub>/Graphene Foam/Ecoflex Hybrid Nanostructures", ACS Applied Materials & Interfaces, Vol. 10, No. 42, (2018), 36377-36384. <https://doi.org/10.1021/acsami.8b11233>
- [13] Huang, K.-J., Wang, L., Liu, Y.-J., Liu, Y.-M., Wang, H.-B., Gan, T., Wang, L.-L., "Layered MoS<sub>2</sub>-Graphene Composites for Supercapacitor Applications with Enhanced Capacitive Performance", International Journal of Hydrogen Energy, Vol. 38, No. 32, (2013), 14027-14034.



- <https://doi.org/10.1016/j.ijhydene.2013.08.112>
- [14] Mao, B., Wang, B., Yu, F., Zhang, K., Zhang, Z., Hao, J., Zhong, J., Liu, Y., Shi, W., "Hierarchical MoS<sub>2</sub> Nanoflowers on Carbon Cloth as An Efficient Cathode Electrode for Hydrogen Evolution Under All pH Values", *International Journal of Hydrogen Energy*, Vol. 43, No. 24, (2018), 11038-11046. <https://doi.org/10.1016/j.ijhydene.2018.04.226>
- [15] Li, W., Chen, J.-w., Xiao, Z.-l., Xing, J.-b., Yang, C., Qi, X.-p., "MoS<sub>2</sub>/Graphene/Carbonized Melamine Foam Composite Catalysts for The Hydrogen Evolution Reaction", *New Carbon Materials*, Vol. 35, No. 5, (2020), 540-546. [https://doi.org/10.1016/S1872-5805\(20\)60507-8](https://doi.org/10.1016/S1872-5805(20)60507-8)
- [16] Ma, H., Du, S., Tao, H., Li, T., Zhang, Y., "Three-dimensionally Integrated Carbon Tubes/MoS<sub>2</sub> with Reduced Graphene Oxide Foam as a Binder-free Anode for Lithium Ion Battery", *Journal of Electroanalytical Chemistry*, Vol. 823, No. 2, (2018), 307-314. <https://doi.org/10.1016/j.jelechem.2018.06.033>
- [17] Chen, S., He, G., Hu, H., Jin, S., Zhou, Y., He, Y., He, S., Zhao, F., Hou, H., "Elastic Carbon Foam via Direct Carbonization of Polymer Foam for Flexible Electrodes And Organic Chemical Absorption", *Energy & Environmental Science*, Vol. 6, No. 8, (2013), 2435-2439. <https://doi.org/10.1039/C3EE41436A>
- [18] Maleki M., Imani, A., Ahmadi, R., Banna Motejadded Emrooz, H., Beitollahi, A., "Low-cost Carbon Foam as A Practical Support for Organic Phase Change Materials in Thermal Management", *Applied Energy*, Vol. 258, No. 2, (2020), 114108. <https://doi.org/10.1016/j.apenergy.2019.114108>
- [19] Zhao, H., Wu, J., Li, J., Wu, H., Zhang, Y., Liu, H., "A Flexible Three-dimensional MoS<sub>2</sub>/Carbon Architecture Derived From Melamine Foam as Free-standing Anode For High Performance Lithium-ion Batteries", *Applied Surface Science*, Vol. 462, No. 2, (2018), 337-343. <https://doi.org/10.1016/j.apsusc.2018.08.110>
- [20] Lei, Z., Zhan, J., Tang, L., Zhang, Y., Wang, Y., "Recent Development of Metallic (1T) Phase of Molybdenum Disulfide for Energy Conversion and Storage", *Advanced Energy Materials*, Vol. 8, No. 2, (2018), 1703482. <https://doi.org/10.1002/aenm.201703482>
- [21] Miao, H., Hu, X., Sun, Q., Hao, Y., Wu, H., Zhang, D., Bai, J., Liu, E., Fan, J., Hou, X., "Hydrothermal Synthesis of MoS<sub>2</sub> Nanosheets Films: Microstructure and Formation Mechanism Research", *Materials Letters*, Vol. 166, No. 2, (2016), 121-124. <https://doi.org/10.1016/j.matlet.2015.12.010>
- [22] Zhang, X., Tang, H., Xue, M., Li, C., "Facile Synthesis and Characterization of Ultrathin MoS<sub>2</sub> Nanosheets", *Materials Letters*, Vol. 130, No. 2, (2014), 83-86. <https://doi.org/10.1016/j.matlet.2014.05.078>
- [23] Yi, M., Zhang, C., "The Synthesis of MoS<sub>2</sub> Particles with Different Morphologies for Tribological Applications", *Tribology International*, Vol. 116, No. 2, (2017), 285-294. <https://doi.org/10.1016/j.triboint.2017.06.045>